

О.Б. Кондрат

## Електронні стани на межі поділу аморфно-кристалічного гетеропереходу $\text{Ge}_{33}\text{As}_{12}\text{Se}_{55}$ – p-Si

Ужгородський національний університет, вул. Волошина, 54, Ужгород, 88000, Україна  
тел. (03122)33020; E-mail: [kon\\_alex@gala.net](mailto:kon_alex@gala.net)

Методом, що базується на методі лінійної комбінації атомних орбіталей і псевдопотенціалу, здійснено розрахунок енергетичної діаграми гетероструктури аморфна плівка  $\text{Ge}_{33}\text{As}_{12}\text{Se}_{55}$  – кристалічний p-Si. Показана можливість використання даного теоретичного підходу для врахування станів на межі поділу та оксидних шарів. Проведено співставлення результатів розрахунку з експериментальними даними.

**Ключові слова:** гетероструктура, енергетична діаграма, межа поділу, поверхневі стани, оксидні шари.

Стаття поступила до редакції 04.10.2005; прийнята до друку 15.05.2006.

### Вступ

У розвитку науки і техніки напівпровідникових гетероструктур, утворених на основі кристалічних матеріалів, досягнуті значні успіхи та прогноуються майбутні тенденції розвитку цього напрямку [1]. При цьому значна увага приділена питанню створення впорядкованих масивів в результаті явища самоорганізації на кристалічних поверхнях. В той же час паралельно розвивається наука про некристалічні напівпровідники, одержані на основі халькогенідних матеріалів, і розглядається перспективність їх використання в оптоелектроніці [2]. Одним з напрямків прикладного використання некристалічних і кристалічних матеріалів є створення гетеропереходів на їх основі. При цьому важливу роль відіграють теоретичні підходи, які дозволяють розраховувати енергетичні діаграми гетероструктур. В даній роботі використаний теоретичний підхід, розвинутий в роботах У.Харрісона [3] для розрахунку електронної структури і побудови діаграми енергетичних зон гетеропереходу аморфна плівка  $\text{Ge}_{33}\text{As}_{12}\text{Se}_{55}$  – кристалічний p-Si, електричні властивості якого досліджувалися раніше [4,5].

### І. Методика розрахунку

Моделювання діаграми енергетичних зон гетеропереходу  $\text{Ge}_{33}\text{As}_{12}\text{Se}_{55}$  – p-Si виконано методом, що базується на методі лінійної комбінації атомних орбіталей і псевдопотенціалу [3]. Розрахунок здійснено по наступним етапам. На першому етапі було розраховано енергетичне положення дна зони провідності  $E_c$  і верху валентної

зони  $E_v$  для сполук  $\text{GeSe}_2$ ,  $\text{As}_2\text{Se}_3$  та кремнію. При розрахунках використані універсальні параметри сильного зв'язку, які містять величини термів Хартрі-Фока  $\epsilon_s$ ,  $\epsilon_p$ ,  $\epsilon_h$ ,  $V_1$  [3,6], енергію внутрішньоатомного кулонівського відштовхування  $U$ , яка для сполук взята як зважене значення двох компонент [7], енергію полярного зв'язку:

$$V_3^{\text{ph}} = (\epsilon_{h+} - \epsilon_{p-})/2, \quad (1)$$

де знак “+” відноситься до катіона, а знак “-” відноситься до аніона, а також енергію ковалентного зв'язку:

$$V_2 = V_{\text{llm}} = \eta_{\text{llm}} \hbar^2 / md^2, \quad (2)$$

де  $\eta_{\text{ss}\sigma} = -1,32$ ,  $\eta_{\text{sp}\sigma} = 1,42$ ,  $\eta_{\text{pp}\sigma} = 2,22$ , і  $\eta_{\text{pp}\pi} = -0,63$  – коефіцієнти, які визначають значення матричних елементів міжатомної взаємодії [8],  $\hbar$  – стала планка,  $m$  – маса електрона,  $d$  – міжатомна відстань, взята з літератури [3, 9, 10].

Величина енергії  $E_c$  в центрі зони Бріллюена розраховувалася по формулам:

$$E_c^{\text{GeSe}_2} = \epsilon_h^{\text{Ge}} + \left[ V_{\text{sp}\sigma}^2 + V_{\text{pp}\pi}^2 + 2V_{\text{pp}\pi}^2 + (V_3^{\text{ph}})^2 \right]^{1/2} - V_1^{\sigma*} + \frac{U}{2}, \quad (3)$$

$$E_c^{\text{As}_2\text{Se}_3} = (\epsilon_p^{\text{As}} + \epsilon_p^{\text{Se}})/2 + \left[ V_{\text{pp}\sigma}^2 + 2V_{\text{pp}\pi}^2 + (V_3^{\text{ph}})^2 \right] - V_1^{\sigma*} + \frac{U}{2}, \quad (4)$$

$$E_c^{\text{Si}} = \epsilon_p^{\text{Si}} + (V_{\text{pp}\sigma}^2 + V_{\text{pp}\pi}^2)^{1/2} - V_1^{\text{Si}} + \frac{U}{2}, \quad (5)$$

де  $V_1^{\sigma*}$  – величина енергії металевого зв'язку, вирахована в базисі антизв'язуючих орбіталей із врахуванням полярності зв'язку  $\alpha_p$ , які в свою чергу

обчислювалися з формул:

$$V_1^{\sigma*} = \left[ (1 + \alpha_p) V_{1-} + (1 - \alpha_p) V_{1+} \right] / 2, \quad (6)$$

$$\alpha_p = V_3^{\text{ph}} / \left[ (V_2^{\text{ph}})^2 + (V_3^{\text{ph}})^2 \right]^{1/2}. \quad (7)$$

Величина енергії  $E_V$  в центрі зони Бріллюена для сполук  $\text{GeSe}_2$  і  $\text{As}_2\text{Se}_3$  розраховувалася по формулі:

$$E_V = \epsilon_p^{\text{Se}} + V_2^{\text{LP}} + U/2, \quad (8)$$

де  $V_2^{\text{LP}} = 0,417h^2/md^2$  - ширина зони усамітнених пар.

Для кремнію ця величина вираховувалася по формулі:

$$E_V^{\text{Si}} = \epsilon_p^{\text{Si}} - V_{\text{pp}\sigma} - \Delta E_{s-o} + U/2, \quad (9)$$

де  $\Delta E_{s-o} = 0,03$  еВ – енергія спин-орбітального розщеплення валентної зони [11].

Потім визначалося енергетичне положення електронних станів в забороненій зоні  $\text{GeSe}_2$  і  $\text{As}_2\text{Se}_3$ , утворених гомополярними зв'язками:

$$E^{\text{Ge-Ge}} = \epsilon_h^{\text{Ge}} + (V_{\text{ss}\sigma}^2 + 2V_{\text{sp}\sigma}^2 + V_{\text{pp}\sigma}^2 + 2V_{\text{pp}\pi}^2)^{1/2}, \quad (10)$$

$$E^{\text{As-As}} = \epsilon_p^{\text{As}} + (V_{\text{sp}\sigma}^2 + 2V_{\text{pp}\sigma}^2 + 2V_{\text{pp}\pi}^2)^{1/2}. \quad (11)$$

Енергетичне положення акцепторного рівня атомів бора в кремнії визначалося із виразу:

$$\epsilon_A^{\text{Si}} = E_V + 2\pi^2 e^4 m_h / \epsilon_s^2 h^2, \quad (12)$$

де  $m_h = 0,64m$  – ефективна маса дірки,  $e$  – заряд електрона,  $\epsilon_s = 6,4$  – статична діелектрична стала, розрахована в роботі [3].

Енергетичне положення електронних станів на поверхні  $E_s$  для сполуки  $\text{GeSe}_2$  і кремнію розраховувалися по положенню атомних термів  $\epsilon_h^{\text{Ge}}$  і  $\epsilon_h^{\text{Si}}$  із врахуванням їх зміщення в бік збільшення енергії на величину  $(U^{\text{GeO}_2}/2 + U^{\text{GeSe}_2}/2)/2$  і  $(U^{\text{Si}}/2 + U^{\text{SiO}_2}/2)/2$  відповідно. Для  $\text{As}_2\text{Se}_3$  ця

величина розраховувалася по положенню терма  $\epsilon_p^{\text{As}}$ , зміщеного на величину  $U^{\text{As}_2\text{Se}_3}/2$ .

На другому етапі розрахунку будувалася енергетична діаграма  $\text{Ge}_{33}\text{As}_{12}\text{Se}_{55}$  із врахуванням мольної долі хімічних зв'язків As-Se і Ge-Se на атом в цій сполуці. Прийнято, що її зона провідності зформована зв'язками As-Se, а валентна зона – LP станами Se. Енергетичне положення гомополярних зв'язків Ge-Ge і As-As відповідає значенням енергії, вирахованим по формулам (10) і (11), а енергія рівня Фермі

$$E_{F1} = (E^{\text{Ge-Ge}} + E^{\text{As-As}}) / 2. \quad (13)$$

В кремнії вона рівна:

$$E_{F1} = E_A^{\text{Si}} + E_V^{\text{Si}}. \quad (14)$$

На третьому етапі розрахунку будувалася енергетична діаграма для оксидних шарів  $\text{SiO}_2$ ,  $\text{Ge}_2\text{O}_3$  і  $\text{As}_2\text{O}_3$ . При розрахунку величин  $E_C$  і  $E_V$  використовувалися формули (3) і (8) з відповідною заміною хімічних індексів. Для кисню використано значення  $V_1^{\sigma*} = 7,74$  еВ, розраховане в роботі [3]. При розрахунку величини  $E_V$  сполуки  $\text{As}_2\text{O}_3$  у виразі для  $V_2$  використано значення  $\eta_{\text{II'm}} = 2,39$ .

У формулі (8) величина  $V_2^{\text{LP}}$  прийнята рівною нулю, оскільки значення  $E_V$  цих матеріалів на енергетичній шкалі знаходяться значно нижче, тому ними можна знехтувати.

На четвертому етапі будувалася діаграма енергетичних зон гетеропереходу з врахуванням вирівнювання рівнів Фермі ( $E_{F1} = E_{F2}$ ), викривлення зон на межі поділу і наявності зв'язків Ge-Se та Si-Ge в цій області. Енергетичне положення зв'язків Ge-Se визначалося по формулі (3), в якій прийнято  $V_1^{\sigma*} = 0$  і  $U/2 = 0$ . Для зв'язків Si-Ge при розрахунку використана формула (10), в якій  $\epsilon_h^{\text{Ge}}$  замінено на  $(\epsilon_h^{\text{Ge}} + \epsilon_h^{\text{Si}})/2$ . Викривлення зон визначалися із співвідношень:

Таблиця 1

Міжатомна відстань  $d$ , енергія металічності  $V_1$ , енергія ковалентності  $V_2$ , енергія іонності  $V_3$ , енергія внутріатомного кулонівського відштовхування  $U$ , енергія дна зони провідності  $E_C$ , енергія верхньої частини валентної зони  $E_V$  для напівпровідників та оксидів.

Параметр	Сполука					
	Si	$\text{As}_2\text{Se}_3$	$\text{GeSe}_2$	$\text{SiO}_2$	$\text{GeO}_2$	$\text{As}_2\text{O}_3$
$d$ , нм	0,235	0,241	0,237	0,161	0,188	0,184
$V_1$ , еВ	1,80	2,70	2,41	3,57	3,96	3,4
$V_2$ , еВ	3,07 (3,30)	3,14	3,77	8,17	5,99	5,38
$V_3$ , еВ	-	0,83	0,70	3,69	5,90	3,90
$U/2$ , еВ	3,82	4,20	4,24	6,07	5,49	6,00
$-E_C$ , еВ	4,07	3,99	3,52	2,31	0,13	3,64
$-E_V$ , еВ	5,07	5,71	5,82	10,68	10,70	10,77

Таблиця 2

Міжатомна відстань  $d$ , енергія ковалентного зв'язку  $V_2$ , енергія іонного зв'язку  $V_3$ , енергія дефектних станів  $E_d$ , енергія внутріатомного кулонівського відштовхування в поверхневому шарі  $U_s$ , енергія поверхневих станів для гетерополярних і гомополярних зв'язків.

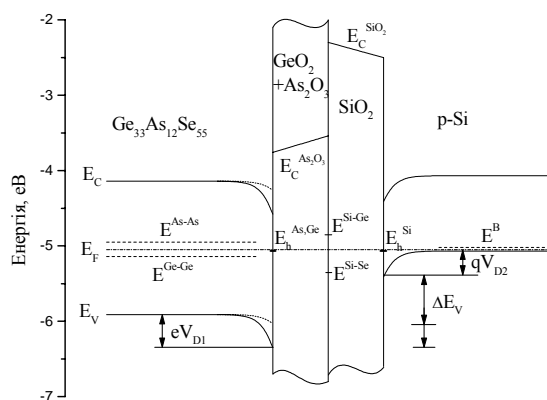
Параметр	Зв'язки					
	As-As	Ge-Ge	Si-Si	Si-Se	Si-Ge	Se-Se
$d$ , нм	0,224	0,244	0,235	0,231	0,239	0,232
$V_2$ , eB	4,22	4,34		3,97	4,52	3,38
$V_3$ , eB		-		0,65	0,06	-
$-E_d$ , eB	4,22	4,95	5,05	-	-	-
$U/2_{surf}$ , eB	4,24	4,87	4,68	-	-	-
$-E_{surf}$ , eB	4,74	4,42	4,72	5,37	4,82	-

$$V_{D1} = E_{F1} - E_S^{Ge,As}, \quad (15)$$

$$V_{D2} = E_{F2} - E_S^{Si}. \quad (16)$$

## II. Результати та їх обговорення

В таблиці 1 приведені міжатомні відстані  $d$ , матричні елементи  $V_1$ ,  $V_2$ ,  $V_3$ , енергії внутрішньоатомного кулонівського відштовхування  $U$  і параметри  $E_C$  і  $E_V$  для напівпровідників  $GeSe_2$ ,  $As_2Se_3$ ,  $Si$  і оксидів  $GeO_2$ ,  $As_2O_3$  і  $SiO_2$ . На основі даних про енергетичні параметри  $GeSe_2$  і  $As_2Se_3$  побудована діаграма енергетичних зон для  $Ge_{33}As_{12}Se_{55}$ . Для даної сполуки відношення числа зв'язків на атом As-Se до Ge-Se рівне 2/3, що дозволило визначити величини  $E_C = 3,99$  eB і  $E_V = 5,76$  eB.



**Рисунок.** Енергетична діаграма електронних станів на межі поділу аморфно-кристалічного гетеропереходу  $Ge_{33}As_{12}Se_{55}$  –  $p$ -Si. Пунктирною лінією показано викривлення зон, спричинене поверхневими станами As в плівці.

В таблиці 2 приведені аналогічні дані для гомополярних As-As, Ge-Ge, Se-Se, Si-Si та гетерополярних зв'язків Ge-Si і Si-Se для електронних станів в забороненій зоні ( $E^{As-As}$ ,  $E^{Ge-Ge}$ ,  $E^{Si}$ ) в об'ємі, на поверхні ( $E_s^{Ge}$ ,  $E_s^{As}$ ,  $E_s^{Si}$ ) і в перехідній області ( $E_s^{Si-Se}$ ,  $E_s^{Si-Ge}$ ). На основі цих даних визначено енергетичне положення рівня Фермі в  $Ge_{33}As_{12}Se_{55}$ :  $E_{F1} = 4,86$  eB, в кремнії:  $E_{F2} = 5,05$  eB і енергетичне положення електронних станів Si-Se і Si-Ge в перехідній області.

На рисунку приведена енергетична діаграма гетероструктури аморфна плівка  $Ge_{33}As_{12}Se_{55}$  – кристалічний  $p$ -Si, розрахована з врахуванням наявності оксидних шарів  $As_2O_3$  і  $GeO_2$  на поверхні плівки і шару  $SiO_2$  на поверхні кремнію. З боку плівки утворюється бар'єр висотою  $eV_{D2} + \Delta E_V = 1,28$  eB, де  $\Delta E_V$  – розрив валентної зони. Вивчення вольт-фарадних і вольт-амперних характеристик цих гетероструктур, проведене в роботах [4,5] показало, що вони можуть бути розглянуті як  $p$ - $p$  – гетероперехід, що представляє собою два включені послідовно діоди Шотткі з протилежною полярністю і з висотою бар'єра  $eV_{D1} + \Delta E_V = 1,15$ - $1,21$  eB з боку кремнію. Проведені в даній роботі розрахунки добре узгоджуються з експериментальними даними.

## Висновки

Показана перспективність використання теоретичного підходу, запропонованого Харрісоном для розрахунку енергетичних діаграм гетеропереходів із врахуванням утворення електронних станів і оксидних шарів на межі поділу. Співставлення результатів розрахунків і експериментальних даних показало добре їх узгодження.

- [1] Ж.И. Алфёров. История и будущее полупроводниковых гетероструктур // *Физика и техника полупроводников*, **32**(1), с. 3 (1998).
- [2] А.М. Андриеш. Халькогенидные стёкла в оптоэлектронике // *Физика и техника полупроводников*, **32**(8), с. 970 (1998).
- [3] W.A. Harrison. *Elementary Electronic Structure*. New Jersey. World Scientific, 838 p. (2004).

- [4] N.D. Savchenko. Energy band diagram for the  $\text{Ge}_{33}\text{As}_{12}\text{Se}_{55}$  – Si heteroboundary // *Inst. Phys. Conf. Ser. №152. Section: Surfaces and interfaces*, IOP Publishing Ltd., p. 723 (1998).
- [5] М.І. Довгошей, О.Б. Кондрат, М.Д. Савченко, Ю.Й. Сідор. Дослідження впливу матеріалу електродів на перенесення носіїв заряду в структурах  $\text{Ge}_{33}\text{As}_{12}\text{Se}_{55}$  - p-Si // *Фізика і хімія твердого тіла*, **1**(1), сс. 119-124 (2000).
- [6] J.B. Mann. Atomic Structure Calculations, 1:Hartree-Fock Energy Results for Elements Hydrogen to Lawrencium. *Distributed by clearing house for Technical Information*, Springfield, Virginia, 22151, (1967).
- [7] W.A. Harrison. Coulomb interaction in semiconductors and insulators // *Phys. Rev. B*, **31**(4), p.2121 (1985).
- [8] W.A. Harrison. Total energies in tightbinding theory // *Phys. Rev. B*, **24**(10), p. 5835 (1981).
- [9] O. Uemura, Y. Nagata, T. Usuki, Y. Kameda. Short-range order in amorphous  $(\text{Ge}_{1-x}\text{M}_x)\text{Se}_2$  (M=As, Sb and Bi) // *J. Non-Cryst. Solids*, **192** and **193**, p. 74 (1995).
- [10] А. Фельц. *Аморфные и стеклообразные неорганические твёрдые тела*: Пер. с нем. Мир, М.: 558 с. (1986).
- [11] D.J. Chadi, R.M. White, W.A. Harrison. Theory of the Magnetic Susceptibility of Tetrahedral Semiconductors // *Phys. Rev. Letters*, **31**, p. 1372 (1975).

O.B. Kondrat

### **Electronic States on the Verge of Division is Amorphous-Crystal Geterotransition $\text{Ge}_{33}\text{As}_{12}\text{Se}_{55}$ – p-Si**

*Uzhgorod National University, tel. (03122)33020; E-mail: [kon\\_alex@gala.net](mailto:kon_alex@gala.net)*

The energy level diagram of the amorphous film  $\text{Ge}_{33}\text{As}_{12}\text{Se}_{55}$  – crystalline p-Si heterostructure was calculated on the basis of linear combination of atomic orbitals method and pseudopotential. The possibility of the application of this theoretical approach to the computation of the states at the interface and the oxidized layers has been shown. The results of computation have been correlated with experimental data.